

## Molybdate 이온 感應 電極

印權植<sup>†</sup> · 李重和\* · 閔泰鶴\*\*

啓明大學校 理工大學 化學科

\*世宗大學 化學科

\*\*東國大學校 理工大學 化學科

(1983. 8. 24 접수)

## The Molybdate-Sensing Electrodes

Gwon-Shik Ihn<sup>†</sup>, Jung-hwa Lee\* and Tae-won Min\*\*

Department of Chemistry, Keimyung University, Daegu 634, Korea

\*Department of Chemistry, Sejong College, Seoul 133, Korea

\*\*Department of Chemistry, Dongguk University, Seoul 100, Korea

(Received August 24, 1983)

**요 약.** Molybdate 이온 감응에 대하여 세가지 성분인  $Ag_2S-PbS-PbMoO_4$  로된 전극이 제조되어 평가되었다. 성분비(w/w%)가 64.5 : 14.0 : 21.5 인 전극이 전위차 감응, 안정도, 감응속도, 재현성이 우수 하였다. 0.1F  $NH_4Ac-NH_4OH$  완충용액 속에서 일정한 이온강도와 pH 7.95 로 조정된  $10^{-1} \sim 10^{-5} M MoO_4^{2-}$  농도범위에서 실험하였고,  $I^-$ ,  $Cl^-$ ,  $Br^-$  와  $CN^-$  등이 방해하였다.

**ABSTRACT.** Three component  $Ag_2S-PbS-PbMoO_4$  electrodes have been prepared and evaluated for sensitivity to molybdate. The 64.5 : 14.0 : 21.5(w/w%) composition is superior in terms of potentiometric response, stability, rapidity of response and reproducibility. Testing was done over the concentration range of  $10^{-1} \sim 10^{-5} M MoO_4^{2-}$  in 0.1F  $NH_4Ac-NH_4OH$  buffer solution at pH 7.95 with constant ionic strength.  $I^-$ ,  $Cl^-$ ,  $Br^-$  and  $CN^-$ , etc. interfere.

### 1. 서 론

전위차 측정법의 발전과 더불어 최근에 활발히 연구되고 있는 이온선택성전극은 생화학, 농예화학, 용수및 폐수 중의 미량의 성분 검출 등에 널리 이용되고 있다<sup>1-4</sup>. 20세기 초에 Cremer<sup>5</sup>는 실험을 통하여 막전극에 관한 연구를 하였는데, 농도가 다른 수소이온의 용액사이에 얇은 유리막을 끼우면 막사이에 전위가 나타남을 알았다. 이렇게 해서 나온 것이 바로 이온선택성 막전극의 최초인 유리전극이다. 이 유리전극의 중요한 특성은 양이온에 대하여 유리표면에 특수 친화력을 갖는 음이온 자리때문에 양이온 감응전극만이 가능하다는 점이다. 1975년 음이온

에 예민한 유리전극<sup>6</sup>을 만들기 위한 시도가 있었으나 성공하지 못하였다. 그동안 발표된 우수한 논문에 대하여 Rechnitz<sup>7</sup>는 이론적인 설명을 제공하였고 또한 Pungor<sup>8</sup>에 의하여서도 음이온 선택성막전극에 관한 이론과 응용에 대해서 보고된 바 있으며 1966년에 Frant와 Ross<sup>9</sup>가  $LaF_3$  단결정으로  $F^-$ 에 선택적으로 감응하는 고체막 전극을 만들었다.

특히 음이온에 대한 이온선택성전극은  $Ag_2S$ 를 Pellet으로 성형하거나<sup>10-11</sup> Silicone 수지를 이용하여 감응막을 만들고 있다.

Halide 이온인  $I^-$ ,  $Cl^-$  및  $Br^-$ 에 관한 선택성 전극은 Silicone rubber를 사용하여 침전물이 내재된 막전극을 이용함으로써 개발되었다<sup>13-18</sup>.

최근 음이온인 Sulfate와 phosphate의 선택성전극은 Rechnitz에 의하여 연구되었고 한편 monohydrogen phosphate<sup>19</sup> 감응 고체전극에 대한 보고가 여러 학자들에 의하여 발표된 바 있다. Buck<sup>20</sup>에 의하면 monohydrogen phosphate 감응전극의 최적성분 조성은  $Ag_2S-PbS-PbHPO_4$ 의 mole 비가 3:1:1이었으며 이 가입된 Pellet의 전극은 binder로서  $Ag_2S$ 가 사용되고 또한 난용성 인산염인  $PbHPO_4$ 가 감응막의 감응물질로 이용되었다. 이 전극은 금속이 접촉된 고체 전극 모양을 이루고 있으며  $Pb^{2+}$ 에 대하여도 감응되었다. 그 감응전위 범위는 이론적으로 예상되는 영역이었음이 밝혀졌다. 많은 음이온에 대한 전극이 제조될 수 있는 성분인  $Ag_2S-PbS-PbX$ 에도 똑같은 원리가 적용될 수 있다.

본 연구에서는 지금까지 보고된 바 없는 molybdate 감응전극을 제조하되 그 감응막 성분을  $Ag_2S-PbS-PbMoO_4$ 로써하고 성분 비율과 온도를 변화시켜 최적의 감응 조건을 찾고자 한다.

## 2. 실험

### 2.1 기기 및 시약

#### (A) 기기

(1) 지시전극: 본 연구에서 제조된 molybdate 감응 전극을 사용하였으며 Fig. 1에 도시되었다.

(2) 기준전극: 외부 기준전극은 Fisher Company 제 포화칼로멜 전극(SCE, Porous-Plug type)과 내부 기준전극은 Fisher Scientific Company 제  $Ag/AgCl$  전극 (Porous-Plug type)을 사용하였다.

(3) 모든 전위 측정은 Beckman recorder가 부착된 Orion Research Model 901 digital pH/mV meter를 사용하였고 pellet 제조는 hot plates(M-2381)가 부착된 Carver Press Model C (M-2380)을 이용하였다.

(4) 시료의 배합은 Spex mixer mill (Model 16)을 사용하였다.

(5) pH meter는 Beckman digital pH meter를 사용하였다.

(6) 용기는 pyrex 유리 제품 및 polyethylene

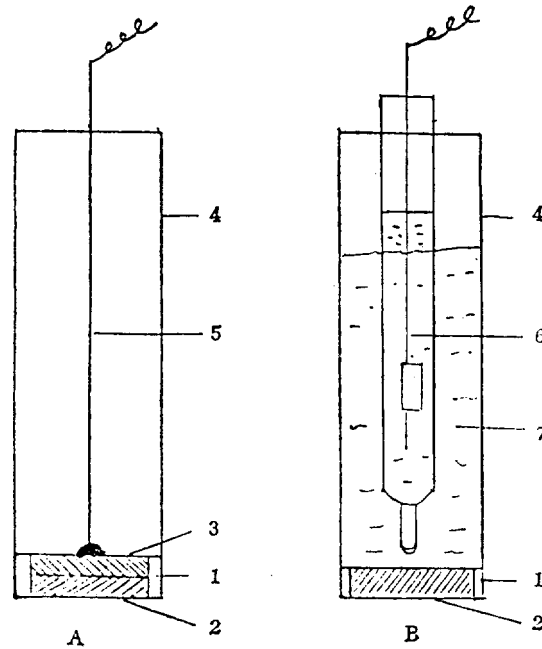


Fig. 1. Designs for molybdate ion selective electrodes. 1. Epoxy resin, 2. Active materials, 3. Silver metal powder, 4. Plastic tube, 5. Silver wire, 6.  $Ag/AgCl$  reference electrode, 7. Internal solution.

제품을 사용하였다.

#### (B) 시약

(1)  $Na_2MoO_4$ ,  $AgNO_3$ ,  $Na_2S \cdot 9H_2O$ ,  $Pb(NH_4O_2)_2$ ,  $La(NO_3)_3$ ,  $Pb(CH_3COO)_2$ ,  $CH_3COONH_4$ ,  $NH_4OH$ 는 Fisher Scientific Company 제를 정제하지 않고 사용하였으며, silver wire와 Silver Powder는 Alfa Division Ventron 제를 사용하였다. 그리고 모든 용액은 탈염된 증류수를 사용하였다.

#### (2) Stock Solution

0.1M  $Na_2MoO_4$  용액:  $Na_2MoO_4$  (20.5917g)를 0.1F  $CH_3COONH_4-NH_4OH$  Buffer Solution (pH 7.95)으로 녹여서 1l로 한다음, 묽은용액인  $10^{-2}$  -  $10^{-5}M$ 의  $Na_2MoO_4$  용액은 0.1F  $CH_3COONH_4-NH_4OH$  완충용액으로 계속 희석시켜 제조하였다. 0.1M  $La(NO_3)_3$ , 0.1M  $Pb(NO_3)_2$  용액:  $La(NO_3)_3$ ,  $Pb(NO_3)_2$ 을 각각 0.1M에 해당되는 양을 평량하여 0.1F  $NH_4OOCCH_3-NH_4OH$  완충용액에 녹여서 1l로 한다음, 묽은 용액인  $10^{-2}$

$\sim 10^{-5}M$ 의  $La(NO_3)_3$ ,  $Pb(NO_3)_2$  용액은 완충용액으로 계속 희석시켜 제조하였다.

## 2.2 감응 물질의 제조

$Ag_2S-PbS-PbMoO_4$ 의 mole 비가 1 : 1 : 1인 혼합물을 제조하기 위하여는  $Ag_2S : PbS = 1 : 1/2$  (mole 비)과  $PbS : PbMoO_4 = 1/2 : 1$  (mole 비)을 mixer에 넣어 혼합 시킴으로써 얻을 수 있었다. 혼합물  $Ag_2S : PbS = 1 : 1/2$ 을 얻기 위하여서는  $AgNO_3$  1 mole과  $Pb(NO_3)_2$  1/2 mole에 해당하는 양을 같은 용기속에 넣어 약 150 ml 정도의 증류수로 녹인 혼합용액을 만든 다음 따로  $Na_2S$  1.5 mole에 해당하는 양을 100ml의 증류수에 녹여서 여과하여  $AgNO_3$ 과  $Pb(NO_3)_2$  혼합용액에 자기교반기로 교반하면서 한방울씩 첨가하여 혼합 침전물인  $Ag_2S-PbS$ 를 얻는다.

이 침전물은  $90^\circ C$ 의 oven에서 2일간 건조시켰다. 또한 혼합물  $PbS : PbMoO_4 = 1/2 : 1$  (mole)을 얻기 위하여  $Pb(NO_3)_2$  1.5 mole을 증류수에 녹여서 150ml로 만든 다음  $Na_2S$ 와  $Na_2MoO_4$ 를 각 1/2 : 1의 mole 비에 해당하는 양을 취하여 150 ml의 증류수에 녹인 혼합용액을 얻었다. 150 ml의  $Pb(NO_3)_2$  용액에 150 ml의  $Na_2S : Na_2MoO_4$  혼합용액을 교반하면서 첨가함으로써  $PbS-PbMoO_4$ 의 침전물의 조성이 1/2 : 1인 혼합침전물을 얻었다.

한편 감응막의  $PbMoO_4$  무게 백분율(w/w%)이 10~30%로 조절하기 위하여  $Ag_2S-PbS-PbMoO_4$ (1 : 1 : 1) 혼합물을 0.45g, 0.50g, 0.94g과  $Ag_2S$  1.05g, 0.50g, 0.49g을 각각 혼합한 결과 78.7% : 8.4% : 12.9%, 64.5% : 14.0% : 21.5%와 55.0% : 17.7% : 27.3%의 무게 백분율의 조성을 얻었다.

## 2.3 전극의 제조

모든 감응 활성 물질은 agate mortar에서 분쇄하여 10분 이상 Spex mixer mill로써 철저히 혼합하였다. Pellet은 두 가지 형으로 고열 가압 방법으로 제조되었으며 그 내용은 다음과 같다.

A형 : Laminated active material (0.7~0.8g) / silver powder (100mesh 0.4g)

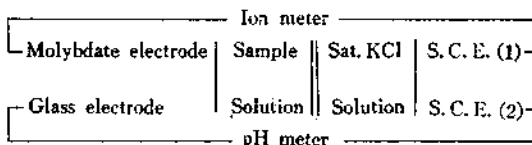
B형 : Laminated active material (0.7~0.8g) 단독으로 된 경우

각 pellet은 실온,  $220^\circ C$ 와  $280^\circ C$ 의 각각의 온도에서 10 ton으로 17시간동안 가압되었다. 대부분의 실험에서 온도가  $280^\circ C$  이상 일 경우에는 pellet이 부서지거나 균열이 생기므로 더 높은 온도에서는 pellet을 제조하지 않았다. 성형된 pellet은 320, 400 및 500 mesh의 sand paper로서 순차적으로 문지른 다음 15, 6, 1,  $0.25\mu$ 의 diamond paste로서 막 표면이 완전 균일하도록 문질렀다. 균일하게 문지러진 pellet은 A형인 경우는 은선과 연결시켜 PVC tube 상단에 epoxy 수지로서 2일간 경화시켰다. 이렇게 하여 A type의 완성된 전극을 만들고, 다음 B type은 pellet의 양면을 갈아서 PVC관 상단에 부착시켜 경화시킨 다음 용액을 넣고 내부전극으로  $Ag/AgCl$  기준전극을 넣음으로써 완전한 이온선택성전극이 되었다. 각 전극은 Fig.1에 도시되었다.

## 2.4 전위 측정법

$10^{-1} \sim 10^{-5}M$  molybdate 용액 약 50 ml를 각각 100ml 비커에 넣고 자석 교반기로 저어가면서 그 용액속에 지시전극과 기준전극을 담가서 전위값의 눈금이 일정해 질 때까지 기다린 후 그 값을 기록하였다. 모든 용액은 0.1F  $NH_4Ac$ 를 사용하여 이온강도를 0.1로 조정하였다.

측정계의 구성은 다음과 같다.



## 3. 결과 및 고찰

### 3.1 Molybdate Ion에 대한 감응

감응 물질인  $Ag_2S-PbS-PbMoO_4$ 의 성분비와 온도에 따른 molybdate ion( $MoO_4^{2-}$ )과 lead ion( $Pb^{2+}$ )에 대한 감응은 Table 1에 표시되었다. 그리고 전극의 A type과 B type의 경우, 비슷한 감응을 보여 주었으나 A type의 전극이 약간 우수하였다. 우선 주감응 물질인  $PbMoO_4$ 의 w/w%가 12.9%인 경우를 보면  $E_1$  전극일때  $10^{-1} \sim 10^{-3}M$   $MoO_4^{2-}$ 에 대하여  $28 \pm 1mV/decade$  값

Table. 1. Response for  $\text{MoO}_4^{2-}$ ,  $\text{Pb}^{2+}$ 

Ratio(w/%) $\text{Ag}_2\text{S}$ : $\text{PbS}$ : $\text{PbMoO}_4$	Electrodes No.	Pressing			$\text{MoO}_4^{2-}$ response slope (negative)	$\text{Pb}^{2+}$ response slope (positive)
		Temp	Tons	Time		
78.7 : 8.4 : 12.9	E <sub>1</sub>	280°C	10	17h	28+1( $10^{-1}$ ~ $10^{-3}M$ ) 13~5( $10^{-3}$ ~ $10^{-5}M$ )	8~6( $10^{-1}$ ~ $10^{-4}M$ ) 2 ( $10^{-3}$ ~ $10^{-4}M$ )
	E <sub>2</sub>	220°C	10	17h	29~25( $10^{-1}$ ~ $10^{-3}M$ ) 10~ 2( $10^{-3}$ ~ $10^{-5}M$ )	17 ( $10^{-1}$ ~ $10^{-2}M$ ) 12~6( $10^{-2}$ ~ $10^{-4}M$ )
	E <sub>3</sub>	R. T.	10	17h	Not response	31 ( $10^{-1}$ ~ $10^{-2}M$ ) 16~8( $10^{-2}$ ~ $10^{-4}M$ )
64.5 : 14.0 : 21.5	E <sub>4</sub>	280°C	10	17h	30 ( $10^{-1}$ ~ $10^{-3}M$ ) 20~12( $10^{-3}$ ~ $10^{-5}M$ )	13 ( $10^{-1}$ ~ $10^{-2}M$ ) 7~3( $10^{-2}$ ~ $10^{-4}M$ )
	E <sub>5</sub>	220°C	10	17h	28~29( $10^{-1}$ ~ $10^{-3}M$ ) 20~ 9( $10^{-3}$ ~ $10^{-5}M$ )	22~28( $10^{-1}$ ~ $10^{-3}M$ ) 10 ( $10^{-3}$ ~ $10^{-4}M$ )
	E <sub>6</sub>	R. T.	10	17h	Small response	23~17( $10^{-1}$ ~ $10^{-3}M$ ) 9 ( $10^{-3}$ ~ $10^{-4}M$ )
55.0 : 17.7 : 27.3	E <sub>7</sub>	280°C	10	17h	31~30( $10^{-1}$ ~ $10^{-3}M$ ) 15~ 8( $10^{-3}$ ~ $10^{-5}M$ )	32 ( $10^{-1}$ ~ $10^{-2}M$ ) 20~11( $10^{-2}$ ~ $10^{-4}M$ )
	E <sub>8</sub>	220°C	10	17h	30~27( $10^{-1}$ ~ $10^{-3}M$ ) 11~ 7( $10^{-3}$ ~ $10^{-5}M$ )	40~27( $10^{-1}$ ~ $10^{-3}M$ ) 17 ( $10^{-3}$ ~ $10^{-4}M$ )
	E <sub>9</sub>	R. T.	10	17h	25 ( $10^{-1}$ ~ $10^{-2}M$ ) 15~ 4( $10^{-2}$ ~ $10^{-4}M$ )	49~28( $10^{-1}$ ~ $10^{-3}M$ ) 18 ( $10^{-3}$ ~ $10^{-4}M$ )

을 줌으로써 Nernstian slope 에 거의 일치 하였고 E<sub>2</sub> 전극에서는 29~25mV 를 나타냈으나 E<sub>3</sub> 전극에서는 감응이 좋지 못했다.

한편  $\text{Pb}^{2+}$  에 대한 감응은 E<sub>3</sub> 전극인 경우가 다른 전극보다 더 좋은 감응을 나타내었다. 그리고  $\text{PbMoO}_4$  가 21.5% 인 경우인 E<sub>4</sub> 전극일 경우가  $10^{-1}$ ~ $10^{-3}M$   $\text{MoO}_4^{2-}$  에 대하여 30mV/decade 값을 주어서 이상적인값(29.2mV/decade)에 가까웠으며 또한 E<sub>5</sub> 전극에서도 28~29mV/decade 값을 보여줌으로써 우수한 감응도를 나타내었다. 그리고 E<sub>4</sub> 전극에서는 저농도인  $10^{-3}$ ~ $10^{-5}M$ 에서도 20~12mV/decade 값을 보여줌으로써 가장 감도가 좋은 우수한 전극이었다. E<sub>6</sub> 전극은 약간의 감응만 나타내었다. 또한  $\text{Pb}^{2+}$  에 대해서는 E<sub>5</sub> 전극은 E<sub>4</sub> 및 E<sub>6</sub> 전극보다 더 좋은 감응을 나타내었다. 계속해서  $\text{PbMoO}_4$  의 w/w% 를 증가시켜 27.3% 일때는 E<sub>7</sub> 전극인 경우가  $10^{-1}$ ~ $10^{-3}M$   $\text{MoO}_4^{2-}$  의 농도에서 31~30mV/decade 값의 감응도를 나타냈고 E<sub>8</sub> 전극에서는 같은 농도에서 30~27mV/decade 값을 주었다. 한편 실온인 E<sub>9</sub>(w/w% 27.3%) 전극인 경우는 E<sub>3</sub>(w/w% 12.9%) E<sub>6</sub>(w/w% 21.5%) 전극일때

보다 훨씬  $\text{MoO}_4^{2-}$  에 대한 감응이 좋았음을 보여 주었다.

이 3가지 성분비에 따른 제일 좋은 감응을 Fig. 2에 도시하였다. 대체로 molybdate 감응 전극은 위의 조직적인 실험에 의하면 최고 온도인 280°C와  $\text{PbMoO}_4$  의 w/w% 가 21.5% 인 경우가  $\text{MoO}_4^{2-}$  에 대하여 가장 좋은 감응도를 보여 주었음을 알았다.

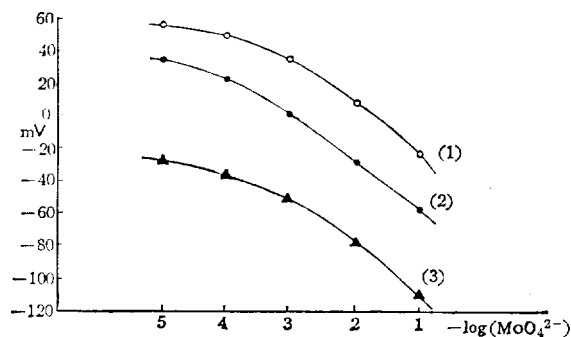


Fig. 2. Responses for  $10^{-1}$ ~ $10^{-5}M$   $\text{MoO}_4^{2-}$ . (1) ○ :  $\text{Ag}_2\text{S}$ :  $\text{PbS}$ :  $\text{PbMoO}_4$  (78.7 : 8.4 : 12.9%) (280°C) (2) ● :  $\text{Ag}_2\text{S}$ :  $\text{PbS}$ :  $\text{PbMoO}_4$  (64.5 : 14.0 : 21.5%) (280°C). (3) ▲ :  $\text{Ag}_2\text{S}$ :  $\text{PbS}$ :  $\text{PbMoO}_4$  (55.0 : 17.7 : 27.3%) (280°C).

### 3.2 pH의 영향

$\text{MoO}_4^{2-}$ 에 대한 최적 pH를 구하기 위하여  $10^{-2}\text{M}$   $\text{MoO}_4^{2-}$ 와  $10^{-3}\text{M}$   $\text{MoO}_4^{2-}$ 에 대하여 0.1F  $\text{NH}_4\text{Ac-NH}_4\text{OH}$  완충용액을 사용하여 pH를 변화시켜 가면서 전위를 측정할 결과 Fig. 3에 도시된 것처럼  $10^{-2}\text{M}$   $\text{MoO}_4^{2-}$ 와  $10^{-3}\text{M}$   $\text{MoO}_4^{2-}$ 인 경우에 pH 7.5에서 pH 8.5 사이가 가장 변화를 적게 받는 것으로 나타났으므로 이부분이  $\text{MoO}_4^{2-}$ 의 안정 영역으로 생각되었다. 모든 실험은 pH 7.95에서 실시하였다.

### 3.3 방해이온의 영향

방해이온은 Table 2에서 표시된 바와 같이

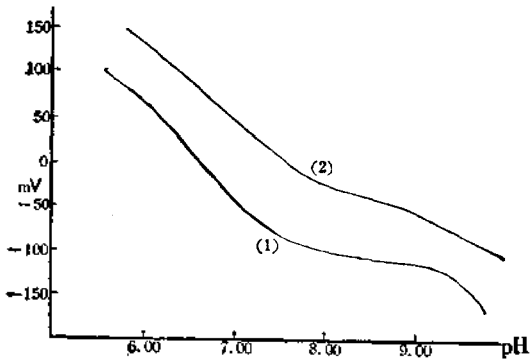


Fig. 3. pH effect on the  $\text{MoO}_4^{2-}$ . (1)  $10^{-2}\text{M}$   $\text{MoO}_4^{2-}$ . (2)  $10^{-3}\text{M}$   $\text{MoO}_4^{2-}$ .

Table 2. Interferences ( $\text{MoO}_4^{2-}$ -electrode)

Anion	Concentration	Response mV	$\Delta$ mV
$\text{F}^-$	$1 \times 10^{-2}\text{M}$	-31	-2
$\text{Cl}^-$	$1 \times 10^{-2}\text{M}$	-122	-93
$\text{Br}^-$	$1 \times 10^{-2}\text{M}$	-166	-137
$\text{I}^-$	$1 \times 10^{-2}\text{M}$	-377.5	-348.5
$\text{CN}^-$	$1 \times 10^{-2}\text{M}$	-467	-438
$\text{WO}_4^{2-}$	$1 \times 10^{-2}\text{M}$	-78.7	-49.5
$\text{HPO}_4^{2-}$	$1 \times 10^{-2}\text{M}$	-75	-45
$\text{HAsO}_4^{2-}$	$1 \times 10^{-2}\text{M}$	-50.5	-21.5
$\text{HCO}_3^-$	$1 \times 10^{-2}\text{M}$	-47.3	-18.5
$\text{SO}_4^{2-}$	$1 \times 10^{-2}\text{M}$	-93	-63
$\text{CrO}_4^{2-}$	$1 \times 10^{-2}\text{M}$	-80.5	-51.5
none	$1 \times 10^{-2}\text{M}$	-29	0

$\text{MoO}_4^{2-}$  concentration  $10^{-2}\text{M}$ , supporting electrolyte; 0.1F ammonium acetate-ammonium hydroxide buffer pH 7.95.

아주 심한 방해를 일으켰다.

방해이온의 대부분은  $\text{Pb}^{2+}$ ,  $\text{Ag}^+$ 과 침전물이나 안정한 착이온을 형성하는 음이온이다. 그중에서 가장 큰 방해음이온은  $\text{CN}^-$  및  $\text{I}^-$ 이고, 작은 것은  $\text{F}^-$  및  $\text{NO}_3^-$ 이다. 이와같이 큰 방해음이온은  $\text{Ag}^+$ 과  $\text{Pb}^{2+}$ 과의 반응이 가능하다는 것을 잘 입증하여 주고 있다.

### 3.4 전극의 수명 (life time)

전극의 감응은 전극을 증류수,  $10^{-1}\text{M}$   $\text{MoO}_4^{2-}$ 속에서 담가서 활성화 시킨 후에 시료농도에 대하여 감응도를 측정할 경우와 만든 즉시 시료에 담가서 감응도를 측정할 결과가 가장 감응이 좋았다. 처음에는 감응도가  $10^{-1} \sim 10^{-3}\text{M}$   $\text{MoO}_4^{2-}$ 의 농도에 대하여 Sub-Nernstian slope 23mV/decade이었으나 Soaking 한 후에는 30mV/decade에 도달하였다. 25일 동안은 이 값을 거의 유지하였으나 2개월이 지난 후에는 감응도가 점점 사라짐을 알았다. 감응속도는 고농도( $10^{-1} \sim 10^{-2}\text{M}$ )일 경우에는 1분이내에 안정한 전위값을 주었고 저농도( $10^{-4} \sim 10^{-5}\text{M}$ )일 경우에는 7~8분 정도의 감응 시간을 요하였다.

### 3.5 $\text{MoO}_4^{2-}$ 에 대한 전위차 적정

본 실험에서 제조된 molybdate 감응 전극을 지시전극으로 한  $\text{MoO}_4^{2-}$ 의 적정곡선을 Fig. 4에 도시 하였다.

$10^{-2}\text{M}$   $\text{MoO}_4^{2-}$  10.0ml를 취하고 titrant로서

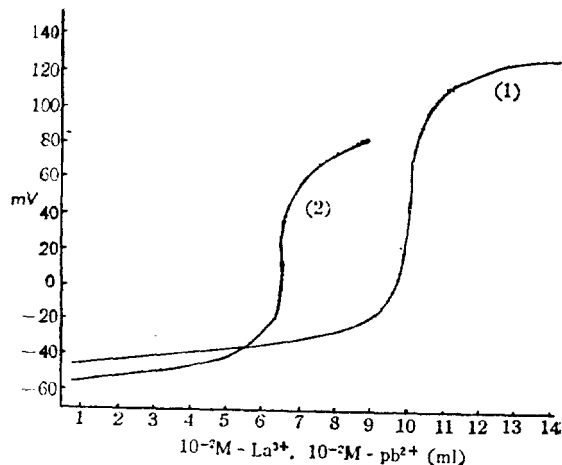


Fig. 4. Titration curve for  $10^{-2}\text{M}$   $\text{MoO}_4^{2-}$  (10ml). (1) Titrant ( $10^{-2}\text{M}$   $\text{Pb}^{2+}$ ); (2) Titrant ( $10^{-2}\text{M}$   $\text{La}^{3+}$ )

$10^{-2}M Pb^{2+}$  을 사용하여 자석젓개로 저어가면서 적정하였더니 당량점에서  $mV$  jump 가 일어났다.

한편 molybdate 전극에 감응이 없는  $10^{-2}M La^{3+}$  을 titrant 로 사용하여도 당량점에서  $mV$  jump 가 일어남을 알수 있었다. 따라서  $MoO_4^{2-}$  감응전극을 새로 제조함으로써 그동안의 간접적인 방법에서 직접으로 적정이 가능하게 되었다. 한가지 어려운 점은  $MoO_4^{2-}$  이 다른 방해이온과 공존할 때에는 그 방해이온을 은폐시킨후에 적정이 가능하다는 것이다.

#### 4. 결 론

본 연구에서는 지금까지 제조된 바 없는 감응도와 재현성이 우수한 새로운 molybdate 감응전극을 제조하였다.

molybdate 전극의 pellet 은 주성분인  $PbMoO_4$  의 w/w% 를 12.9, 21.5%, 27.3% 로 변화시켰고 온도를 각각 실온,  $220^{\circ}C$ ,  $280^{\circ}C$  로 하였다. 한편  $MoO_4^{2-}$  에 대한 감응도를  $10^{-1} \sim 10^{-5}M$  까지 측정할 결과  $280^{\circ}C$  21.5% 인 경우의 막이 Nernstian slope 에 가장 잘 일치하였다. 시료 측정시에는 전극을 1 주야 정도  $10^{-1}M MoO_4^{2-}$  용액속에 담가둠으로써 감응 시간이 빠르고 정확하였다. 또한 막표면이 오염 되었을 경우 다시 Polishing 함으로써 일정한 전위를 유지 할수 있었다.

시료용액의 pH 는 7.95 가 최적이었으며 방해이온은  $Pb^{2+}$ ,  $Ag^+$  과 침전물이나 착염을 형성하는  $CN^-$ ,  $I^-$ ,  $Br^-$  및  $Cl^-$  등이었다. 미지의  $MoO_4^{2-}$  농도를 알기 위하여 이 전극을 사용함으로써 전위차 적정법에 의하여 정량이 가능하였다.

끝으로 저자는 이 연구에 대하여 재정적인 지원을 한 문교부와 연구에 도움을 준 Dr. Buck 에게 대단히 감사합니다.

#### 인 용 문 헌

1. P. W. Alexander and G. A. Rechnitz; *Anal Chem.* **46**, 250 (1974).
2. A. H. Truesdell and A. M. Pommer, *Science*, **142**, 1292 (1963).
3. E. W. Baumann, *Anal Chem.* **46**, 1345 (1974).
4. P. J. Cusbert, *Anal. Chim. Acta*, **87**, 429 (1976).
5. M. Cremer, *Z. Biol.* **47**, 562 (1906).
6. G. Eisenman, D. O. Rudin and J. U. Casby, *Science*, **126**, 871 (1957).
7. G. A. Rechnitz, *Chem. Eng News*, **45**(25), 146 (1967).
8. E. Pungor, *Anal. Chem.*, **39**(13), 29A (1967).
9. M. S. Frant and J. W. Ross, *Science*, **154**, 1553 (1966).
10. Tong-Ming, Hseu and G. A. Rechnitz, *Anal. Chem.*, **40**, 1054 (1968).
11. D. C. Müller, R. W. West and R. H. Müller, *Anal. Chem.*, **41**, 2038 (1969).
12. E. Pungor, E. Schmidt and K. Toth, Proc. Somp. on Electrochemical Sensors, Oct. 1968. Veszprem. Hungary, P. 121; *Anal. Chim. Acta.*, **61**, 169, (1972).
13. G. A. Rechnitz, M. R. Presz. and S. B. Zamochnich, *Anal. Chem.*, **38**, 973(1966).
14. E. Pungor, J. Havas and K. Toth, *Z. Chem.*, **5**, 9 (1965).
15. E. Pungor, J. Havas and G. Madarasz. *Fr. Patent* 1402, 343 (1965).
16. E. Pungor, J. Havas and K. Toth, *Acta, Chim. Hung. Tomus*, **41**, 239 (1964).
17. E. Pungor, and J. Havas; *Acta, Chim. Sli. Hung.* **50**, 77 (1966).
18. G. A. Rechnitz and M. R. Kresz, *Anal. Chem.*, **38**, 1786 (1966).
19. D. Midgley, *Talanta*, **26**, 261, (1979).
20. Gwon-shick Ihn, F. Nash and R. P. Buck, *Anal. Chim. Acta*, **121**, 101 (1980).